文章编号: 1674-8085(2018)04-0028-06

BiOBr/TiO₂ 复合光催化材料的制备及其光催化性能的研究

谢桂香,林霞晖,*张著森

(龙岩学院化学与材料学院,福建,龙岩 364012)

摘 要:采用水热法制备了 TiO_2 、BiOBr、 $BiOBr/TiO_2$ 复合光催化剂材料,用 X 射线衍射仪(XRD)、扫描电子显微镜(SEM)、紫外-可见漫反射(UV-Vis)、红外吸收光谱(FTIR)对其进行表征,并以甲基橙为降解物,进行了光催化性能的研究。结果表明:复合材料 $BiOBr/TiO_2$ 中 BiOBr 和 TiO_2 不同的质量比、水热反应温度、水热反应时间、对 $BiOBr/TiO_2$ 复合光催化剂的光催化性能都有影响,当 $BiOBr/TiO_2$ 的质量比为 1:1、水热反应温度为 160° C、水热反应时间 12 h, $BiOBr/TiO_2$ 复合光催化剂的光催化活性最佳,甲基橙降解率可达 97.19%。

关键词: 水热法; TiO2; BiOBr/TiO2; 光催化

中图分类号: O643

文献标识码: A

DOI:10.3969/j.issn.1674-8085.2018.04.006

PREPARATION AND PHOTOCATALYTIC ACTIVITY OF BiOBr/TiO₂ COMPOSITE PHOTOCATALYST

XIE Gui-xiang, LIN Xia-hui, *ZHANG Zhu-sheng

(College of Chemistry and Material Science, Longyan University, Longyan, Fujian 364012, China)

Abstract: TiO₂, BiOBr and BiOBr/TiO₂ composite photocatalyst crystals were prepared by hydrothermal method. They were characterized by X-ray diffraction (XRD), scanning electron microscopy (SEM), UV-visible diffuse reflectance spectroscopy and infrared absorption spectroscopy. The methyl orange was used as the degradation product. The photocatalytic performance of BiOBr/TiO₂ composite was determined. The results showed that TiO₂ and BiOBr with different mass ratio, hydrothermal temperature, hydrothermal reaction time, affect the photocatalytic activity of BiOBr/TiO₂. When the hydrothermal reaction was carried out at 160 °C for 12 h with mass ratio (BiOBr/TiO₂)of 1:1, the photocatalyst showed best catalytic activity, and the degradation rate of methyl orange reached to 97.19%.

Key words: hydrothermal method; TiO₂; BiOBr/TiO₂; photocatalytic performance

0 引言

如今工业发展非常迅速,有害物质的大量排放,严重威胁着我们每一个人的身心健康发展。光 催化剂催化由于本身没有污染、操作较为简单、且 可以直接利用太阳能为反应光源,不仅能治理环境问题,还能生产绿色能源等优点,已经逐渐成为有效处理有机污染物的主要方法之一^[1-3]。光催化剂TiO₂和BiOBr都是现在研究的比较多的光催化剂,但它们各有千秋,二氧化钛和溴氧化铋都有很

收稿日期: 2018-02-06; 修改日期: 2018-04-07

基金项目:福建省大学生创新创业训练计划项目(201611312025);龙岩学院产学研项目(LC20140007)

作者简介: 谢桂香(1984-), 女,福建龙岩人,实验师,主要从事功能材料的研究(E-mail:275210827@qq.com);

林霞晖(1987-),女,福建福州人,实验师,主要从事环境光催化的研究(E-mail:linxiahui_8711@163.com);

^{*}张著森(1970-), 男, 福建龙岩人, 高级实验师, 主要从事功能材料的研究(E-mail:350239127@qq.com).

多优点,比如说二氧化钛有它的高化学活性和高氧 化能力,而且还是较为绿色的材料[4-5]。与此同时, BiOBr具有特殊的层状晶体结构,并且禁带宽度较 窄,仅为2.7 eV,可以直接作为可见光光催化材料, 该材料在近几年倍受关注[6-9]。然而TiO2也有很多不 足之处,其中O的2p轨道化学能级位置较低,且具 有较大的禁带宽,对太阳的利用率较低。另外, 光激发所产生的电子和空穴的复合率相对较高, 光量子效率也比较差,这些都制约了TiO2的实际应 用[10]。然而在BiOBr的结构中,能够生成偶极矩, 与TiOz截然相反的就是BiOBr的光生电子与空穴的 复合率相对较低,拥有较好的催化活性[11-12]。

因此,本研究是将窄带隙的半导体材料BiOBr 与宽禁带的半导体材料TiO2采用水热法复合,充分 利用纯TiOo的优点和纯BiOBr的优点,尽可能地避 免两者的不足之处, 合成出比较高性能的 BiOBr/TiO2复合光催化剂。BiOBr与TiO2的禁带宽度 不同,分别为窄禁带宽度和款禁带宽度,如果可以 匹配形成异质结的话, 就能够使得光生载流子的复 合几率相对降低,那么复合晶体的光催化活性就能 够显著提高了。本实验通过采用水热法制备 BiOBr/TiO₂复合光催化材料,并研究了BiOBr和 TiO₂质量比、反应时间和焙烧温度对BiOBr/TiO₂ 复合光催化剂组织结构和光催化性能的影响,确 定了BiOBr/TiO₂复合材料的最佳反应条件。通过一 系列实验证明两种光催化材料复合明显提高TiO。 光量子效率和BiOBr的催化活性,在降解甲基橙 时表现出高于纯TiO₂和纯BiOBr光催化活性,得出 具备TiO2和BiOBr两者优点的BiOBr/TiO2复合光 催化剂。

实验部分 1

1.1 主要仪器和试剂

1.1.1 主要试剂

五水合硝酸铋 (Bi(NO₃)₃·5H₂O), 硝酸 (HNO₃),无水乙醇 (C₂H₆O),溴化钾十六烷基 三甲基溴化铵盐酸 (HCI) 分析纯广东汕头市西 陇化工股份有限公司分析纯, 甲基橙上海试剂三 厂, 钛酸四丁酯 (C₁₆H₃₆O₄Ti) 化学纯国药集团 化学试剂有限公司,蒸馏水实验室自制。

1.1.2 主要仪器

DX-2700 型 X 射线衍射仪(XRD, 丹东方仪 器有限公司), S-3400N 型扫描电镜(SEM, 天美 科学仪器有限公司), UV-5600 型紫外分光光度计 (上海尤尼柯仪器有限公司), 360FT-IR 型傅里叶 红外变换光谱仪(FT-IR, 美国 Nicolet 公司), STA 449F3 型同步热分析仪(德国 NETZSCH 公司), DF-101S 型集热式恒温加热磁力搅拌器(巩义市 予华仪器有限公司), DHG-9071A 型电热恒温干 燥箱(上海精宏实验设备有限公司), 300W 紫外线 高压汞灯(上海亚明灯泡厂有限公司), BSA124S 型分析天平(赛多科学仪器有限公司), SHB-3 型 真空泵(郑州杜普仪器厂), pHS-3G型 pH 计(上海 伟业仪器厂), 聚四氟乙烯反应釜(济南恒化科技 有限公司), SX-5-12型马弗炉(天津市科学器材设 备厂)。SHB-3型循环水多用真空泵(郑州杜普仪 器厂), KQ-100DE 型超声波清理器(昆山市超声 仪器有限公司), VarianCary500型 UV-Vis-NIR 光 谱仪(美国 VarianCo.)。

1.2 样品制备

1.2.1 制备 TiO₂ 催化剂

在室温下20 mL钛酸四正丁酯与400 mL蒸馏 水在 1000 mL 烧杯中混合均匀,在磁力搅拌器下 搅拌 10 min 后进行抽滤、洗涤。所得的沉淀加入 500 mL 蒸馏水,再加入一定量的十六烷基三甲基 溴化胺,用 0.1 mol/L 的盐酸和 0.1 mol/L 的硝酸调 节 pH(pH = 2.00), 在 60 ℃下恒温搅拌 90 min。 结束后倒入聚四氟乙烯反应釜,置于电热恒温干 燥箱在 160 ℃下进行水热反应 12 h。抽滤将所得 样品置于坩埚,再放入恒温干燥箱以 100 ℃烘 30 min, 干燥后放入马弗炉400 ℃焙烧2 h, 得 TiO₂。

1.2.2 制备 BiOBr

取 9.7 g Bi(NO₃)₃·5H₂O 溶解在 30 mL 醋酸 中,再加入到装有 2.4 g 溴化钾的 300 mL 蒸馏水 的烧杯中,剧烈搅拌 20 min^[13],放入反应釜调节 温度 160 ℃水热反应 6 h。然后过滤得到沉淀用 蒸馏水洗涤,最后在60 ℃下烘干得到BiOBr。

1.2.3 BiOBr/TiO₂复合光催化剂的的制备

取 9.7 g Bi(NO₃)₃·5H₂O 溶解在 30 mL 醋酸

中,再加入到含有 $2.4 \,\mathrm{g}$ 溴化钾的 $300 \,\mathrm{mL}$ 蒸馏水中剧烈搅拌(室温下搅拌 $20 \,\mathrm{min}$),分别取上述制得的 $\mathrm{TiO_2}$ 粉末以一定的比例加入得到的溶液中(使 $\mathrm{TiO_2}$ 与 BiOBr 的质量比分别为 1:0,1:1,1:2,2:1,0:1),将混合溶液超声 $30 \,\mathrm{min}$,然后将混合液转移到不锈钢高压反应釜,设置温度 $160 \,\mathrm{C}$ 进行水热反应(水热反应时间分别为: 6、 $7、8、9、10、11、12 h)。再进行真空抽滤,洗涤,最后再放入恒温干燥箱中 <math>60 \,\mathrm{C}$ 烘干。

1.3 光催化实验

准确称取样品 20 mg 加入 100 mL 15 mg·L⁻¹ 的甲基橙溶液中,超声处理 10 min,暗处搅拌

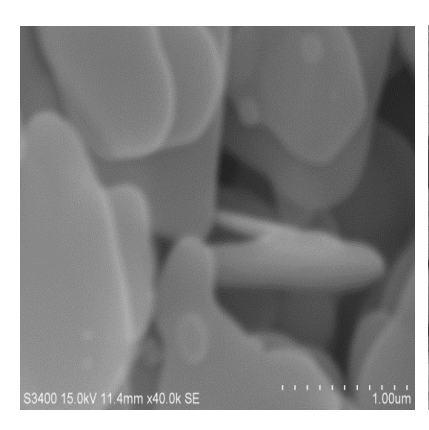
30 min, 达到物理吸脱附平衡,测其吸光度,暗处静置 30 min,测其吸光度 A₀,移至 300 W的紫外灯下进行光催化降解(紫外灯波长 365 nm),每隔 30 min 取样、离心、取其上层溶液测吸光度 A_e。催化降解反应采用甲基橙的降解率来表征^[13]

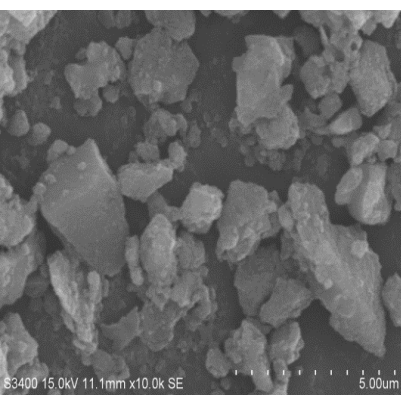
$$D = (A_0 - A_e) / A_0 \times 100\%$$
 (1)

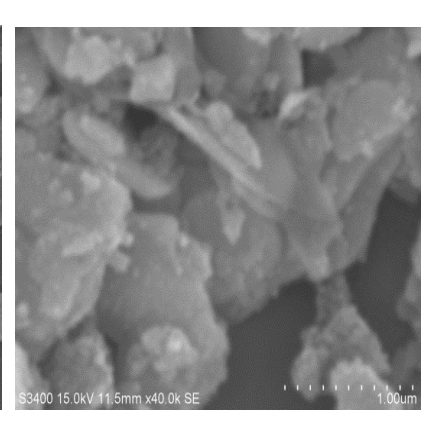
式中D为降解率; A_0 为初始吸光度; A_e 为降解后的吸光度。

2 结果与讨论

2.1 表面形貌 (SEM)







(a) BiOBr

(b) TiO₂

(c) BiOBr/TiO₂

图 1 BiOBr、TiO₂及 BiOBr 与 TiO₂质量比为 1: 1 的复合光催化剂的 SEM 图

Fig.1 SEM image of BiOBr, TiO_2 and $BiOBr/TiO_2$ composite with mass ratio of 1:1

图 1(a)为所制得的 BiOBr 样品,呈片层结构,层状结构的形成是因为 BiOBr 是由[Bi₂O₂]层和溴原子交错而形成的,片状结构有利于光生载流子更加快速地通过催化剂的表面,有利于光生电子空穴对的分离。图 1(b)为所制得的 TiO₂ 样品,图中显示颗粒为纳米级别,容易团聚。图 1(c)为所制得的 BiOBr/TiO₂ 复合光催化剂的 SEM 图,从图中可以看出,TiO₂ 较均匀的分散在 BiOBr 的片层结构上,从而可以充当隔板来抑制 TiO₂ 纳米颗粒的团聚,使得 BiOBr/TiO₂ 复合光催化剂的比表面积相对较大,分散性也较好,这样对提供更多的光催化反应活性位点是十分有利的。

2.2 光催化剂的 XRD 分析

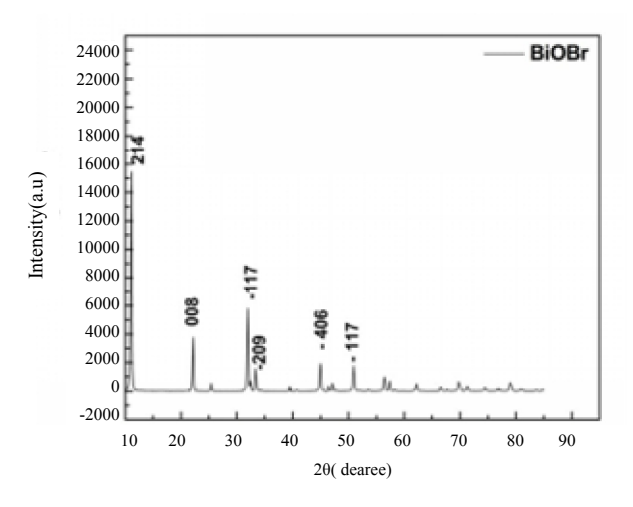


图 2 BiOBr 催化剂的 XRD 谱图 Fig.2 XRD spectra of BiOBr

BiOBr 样品的 XRD 谱图如图 2 所示。可以看出,BiOBr 样品的所有特征衍射峰都与标准卡片(PDF#03-0564)一致,在 10.9、22.1、31.9、33.2、44.9、50.8°出现的衍射峰分别对应 BiOBr 晶体的(214)、(008)、(-117)、(-209)、(-406)和 (-117)晶面,这验证了本实验所制备的样品为 BiOBr 晶体。通过与标准卡对比,可以看出制得的 BiOBr 晶体更加趋向于[-117]晶面取向生长。

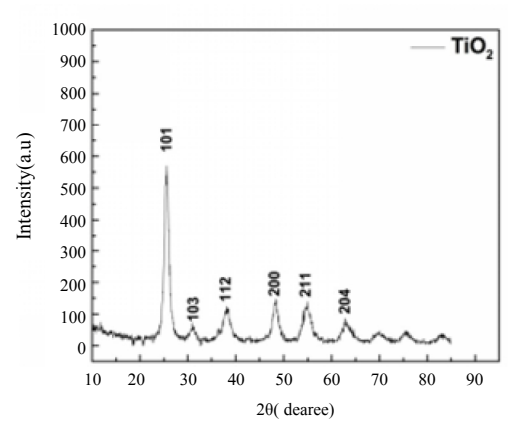


图 3 TiO₂ 催化剂的 XRD 谱图 Fig.3 XRD spectra of TiO₂

图 3 为 TiO_2 样品的 XRD 谱图。由图 3 可见,所制得的 TiO_2 样品的所有特征衍射峰都与标准卡片(PDF#21-1272)吻合,为锐钛矿型晶相。 TiO_2 在 20 值为 25.5、31.1、38.1、48.3、55.1、63.0°处形成衍射特征峰,其特征峰对应 TiO_2 晶体的(101)、(113)、(112)、(200)、(211)和(204)晶面。由上图可以看到,各特征衍射峰很明显,并没有明显的杂质峰,通过与标准卡片对比,表明 TiO_2 样品有较好的结晶度。

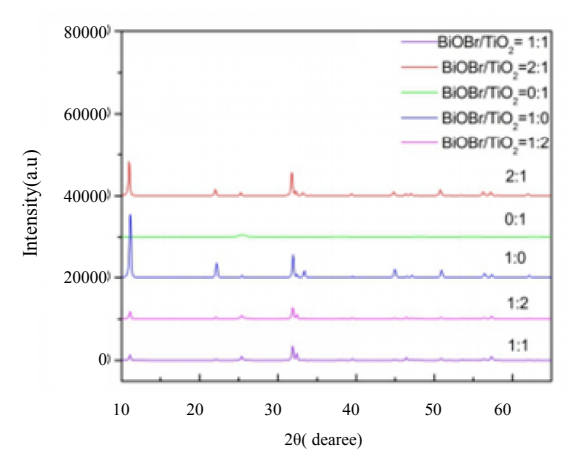


图 4 不同质量比的 BiOBr/TiO₂ 复合光催化剂的 XRD 谱图 Fig.4 XRD spectra of BiOBr/TiO₂ composite with different mass ratio

图4为BiOBr/TiO₂不同质量比(BiOBr与TiO₂质量比1:1、2:1、0:1、1:0、1:2)的复合光催化剂的XRD谱图。图中的峰位与图2、图3中BiOBr及TiO₂的峰位相符,没有出现其它的杂峰,说明制备的物质是二氧化钛与溴氧铋的复合物,没有出现其它的杂质。

2.3 紫外-可见漫反射

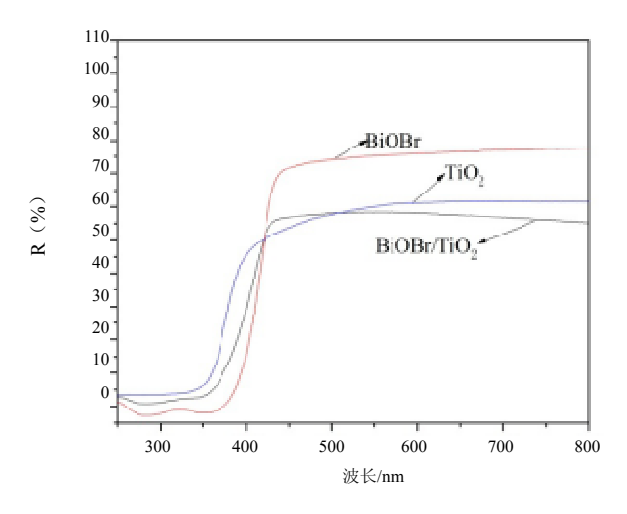


图 5 BiOBr、TiO₂及 BiOBr 与 TiO₂质量比为 1: 1 的复合 光催化剂的紫外可见漫反射光谱

Fig. 5 UV-Vis diffuse reflection spectra of BiOBr, TiO₂ and BiOBr/TiO₂ composite with mass ratio of 1:1

由图 5 可知: BiOBr/TiO₂复合光催化剂的紫外可见漫反射光谱图在紫外光区的吸收比纯TiO₂有明显的增强,并且出现吸收边界的红移,在可见光区也有一定的吸收。说明 BiOBr/TiO₂复合光催化剂明显提高了对太阳光的利用率,提高自身的光催化活性。另外,通过该紫外可见漫反射图,根据下式^[14]:

$$\alpha h v = A \left(h v - E g \right)^{n/2} \tag{2}$$

其中, α 、h、v、A、Eg 分别表示光吸收系数、普朗克常数、光的频率、比例常数及禁带能,我们可以得到 BiOBr、 TiO_2 及 BiOBr/ TiO_2 的禁带能分别为:2.99、3.34、3.02 eV。复合物 BiOBr/ TiO_2 的禁带能明显比 TiO_2 低,而比 BiOBr 略高,这样可使窄带隙半导体 BiOBr 形成的光生电子、空穴通过异质结向宽带隙的 TiO_2 迁移,从而降低了光生载流子的复合,提高了光量子效率,从而提高光催化效率。

2.4 红外吸收光谱

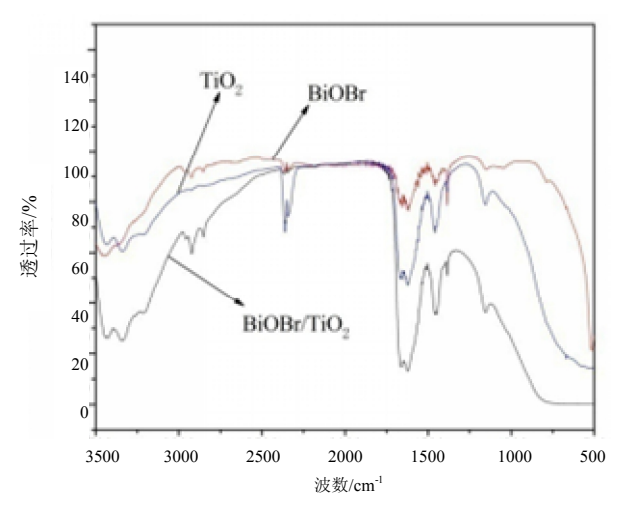


图 6 BiOBr、 TiO_2 及 BiOBr 与 TiO_2 质量比为 1: 1 的复合 光催化剂的红外谱图

Fig.6 FTIR patterns of BiOBr, TiO_2 and $BiOBr/TiO_2$ composite with mass ratio of 1:1

采用红外光分光光度计对 BiOBr、BiOBr/TiO₂ 复合光催化剂、TiO₂ 进行红外测定,结果如图 6 所示。在 BiOBr、BiOBr/TiO₂ 复合光催化剂、TiO₂ 的谱图中可以看出,各样品主要在 1155、1462、1615、2363、2924、3343、3440 cm⁻¹ 处出现 7 个吸收峰,其中 500 cm⁻¹ 和 1300 cm⁻¹ 左右吸收峰,该峰归属于 BiOBr 中 Bi - O 键的伸缩振,3440 cm⁻¹ 和 1615 cm⁻¹ 分别为表面吸附的水分子或表面 O - H 伸缩和弯曲振动峰。1155 cm⁻¹ 为 Bi - O - Bi 键的吸收峰。而在 3440 cm⁻¹ 处的羟基能够俘获 光 生 空 穴,生 成 的 羟 基 自 由 基 对 提 高 BiOBr/TiO₂ 复合光催化剂催化活性有重要作用。

2.5 光催化实验结果分析

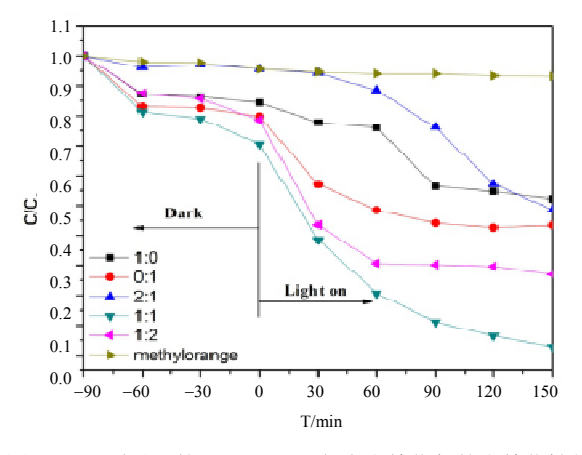


图 7 不同质量比的 BiOBr/TiO₂ 复合光催化剂的光催化性能 Fig. 7 Photocatalytic performance of BiOBr/TiO₂ composite with different mass ratio

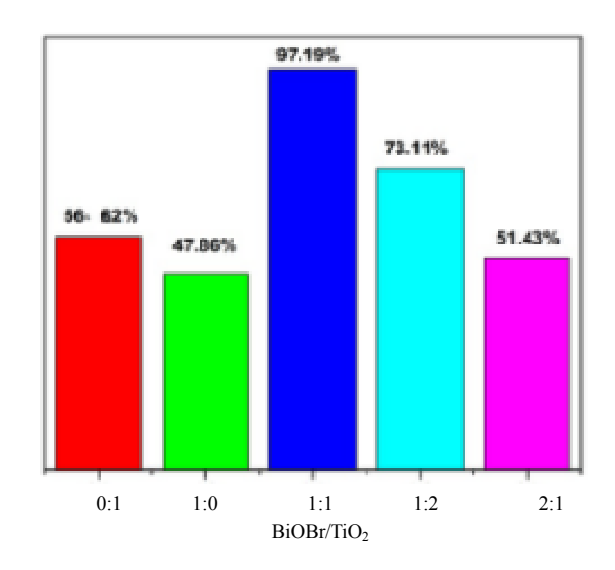


图 8 不同质量比的 BiOBr/TiO₂ 复合光催化剂的催化效率 Fig. 8 Catalytic efficiency of BiOBr/TiO₂ composite with different mass ratio

图 7 与图 8 为所制备的各样品的光催化性能结果。由图 7 可见,单纯紫外灯照射对甲基橙几乎没有降解效果。在暗反应过程中,复合光催化剂对甲基橙有一定的吸附效果,并且随着 TiO₂ 的比例增加,暗反应的吸附效果稍微增强。在紫外灯照射下,甲基橙在光催化剂作用下迅速降解,其中 BiOBr 的光催化活性最弱,通过与不同比例的 TiO₂ 复合后,光催化活性有了不同程度的提高,其中 BiOBr 与 TiO₂ 质量比为 1:1 的 BiOBr/TiO₂复合光催化剂表现出最高的光催化活性,催化效率高达 97.19%。

2.6 BiOBr/TiO₂复合光催化剂的稳定性

为了验证水热时间为 12 h, BiOBr 与 TiO₂ 质量比为 1:1, 焙烧温度为 160℃时的 BiOBr/TiO₂ 复合光催化剂的稳定性,将 0.04 g BiOBr/TiO₂ 和 100 mL 20 mg / L 甲基橙溶液置于烧杯中,进行光催化实验。取上清液先进行离心,再测定其吸光度,然后将样品进行抽滤和洗涤,最后烘干回收。重复进行 6 次光催化实验。实验结果如图 9 所示,BiOBr/TiO₂ 复合光催化剂循环使用 6 次,甲基橙溶液的降解率分别为 97.19% 、96.23%、96.02%、95.84%、95.55%、94.66%,甲基橙溶液的降解率变化不明显,这意味着样品在光催化降解污染物的过程中没有发生光腐蚀现象,表现出良好的活性稳定性。

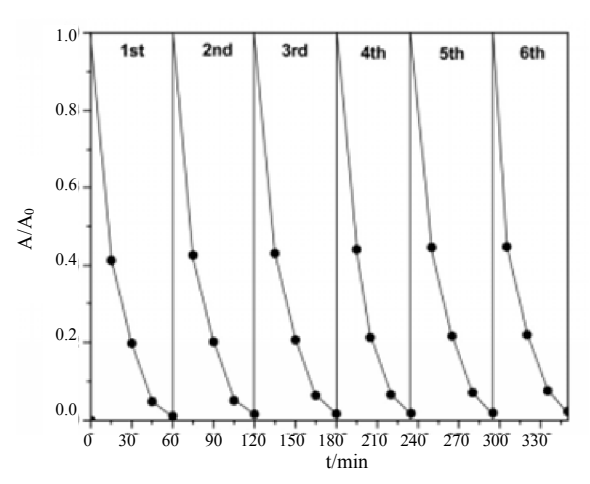


图 9 BiOBr/TiO₂ 复合光催化剂的稳定性 Fig.9 Photocatalytic stability of BiOBr/TiO₂ composite

3 结论

本研究利用水热法制备出了具有较好的光催 化活性的 $BiOBr/TiO_2$ 复合光催化剂,并使用一系 列的表征手段对 $BiOBr/TiO_2$ 复合光催化剂的催 化剂形貌、结构及光催化性能进行表征,得到以 下结论:

- (1) XRD 结果显示水热法所制备的物质为BiOBr、TiO₂及BiOBr/TiO₂复合材料。
- (2) SEM 图表明所合成的材料为纳米级别, BiOBr 片状结构有利于光生电子空穴对的分离, 有利于 TiO_2 的分散,使催化剂的比表面积提高, 从而提高其光催化性能。
- (3)紫外可见漫反射实验说明 BiOBr/TiO₂ 复合光催化剂可提高对紫外光的利用率及对太阳光的吸收范围,红外光谱显示复合材料有更多的羟基自由基,从而提高材料的光催化活性。
- (4) 以紫外光下降解甲基橙反应模型,发现 $BiOBr/TiO_2$ 复合光催化剂的催化活性较纯 TiO_2 与纯的 BiOBr 的活性有显著提高,BiOBr 与 TiO_2 质量比为 1:1 的 $BiOBr/TiO_2$ 复合催化剂光催化活性最好,甲基橙降解率高达 97.19%。
 - (5) BiOBr/TiO₂ 复合光催化剂循环使用六

次后,催化效率还可以达到94.66%,稳定性良好。

参考文献:

- [1] 董鹏玉, 奚新国。可见光响应光催化材料[M].北京:科学出版社,2016:5-25.
- [2] Robert D, Malato.S Solar photocatalysis:a clean process of water detoxification[J]. Science of the Total Environment, 2002, 291(1): 85-97.
- [3] Mills A, Hunte S L. An overview of semiconductor photocatalysis[J]. Journal of Photochemistry & Photobiology A Chemistry, 1997, 108(1):1-35.
- [4] Yan Wang, Yiming He, Qinghua Lai, et al. Review of the progress in preparing nano TiO₂. An important environmental engineering material[J]. Journal of Environmental Sciences, 2014, 26(11): 2139-2177.
- [5] Shanmugasundaram S, Horst K. Daylight photocatalysis by carbon - modified titanium dioxide[J]. Angewandte Chemie International Edition, 2003, 42(40):4908-4911.
- [6] 卢珂. 负载贵金属 (Pt, Au, Ru) 的BiOBr光催化剂的制备及性能研究[D]. 太原:太原理工大学, 2015.
- [7] 尹双凤,陈浪. 铋系半导体光催化材料[M]. 北京: 化学工业出版社, 2016: 63-85.
- [8] 曹亚亚,黄少斌,尹佳芝. 不同煅烧温度制备的n-p型 CeO₂/BiOBr光催化性能研究[J]. 分子催化, 2016, 30(2): 159-168.
- [9] Hai L, Jing B D, Ben Y,et al. Visible-light photocatalytic activity and mechanism of novel AgBr/BiOBr prepared by deposition-precipitation[J]. Chinese Science Bulletin, 2012, 57(22): 2901-2907.
- [10] Hashimoto K, Irie H, Fujishima A. TiO₂ Photocatalysis: A historical overview and future Prospects[J]. Japanese Journal of Applied Physics, 2005, 44(12):8269-8285.
- [11] 朱培娟,陈薇,李春艳,等. 溴化氧铋(BiOBr)光催化降解 亚甲基蓝的研究[J]. 华东师范大学学报:自然科学版, 2014(4): 122-131.
- [12] 栾云博,冯玉杰,王文欣,等. 类微乳化学沉淀法合成 BiOBr-TiO₂纳米复合材料及其光催化性能[J]. 物理化 学学报, 2013, 29(12): 2655-2660.
- [13] 景小翠. 金属复合氧化物光催化材料的改性及其性能研究[D]. 镇江:江苏大学, 2016.
- [14] Zeng J, Wang H, Zhang Y C, et al. Hydrothermal synthesis and photocatalytic properties of pyrochlore La₂Sn₂O₇ nanocubes [J].The Journal of Physical Chemistry C, 2007, 111: 11879-11887.